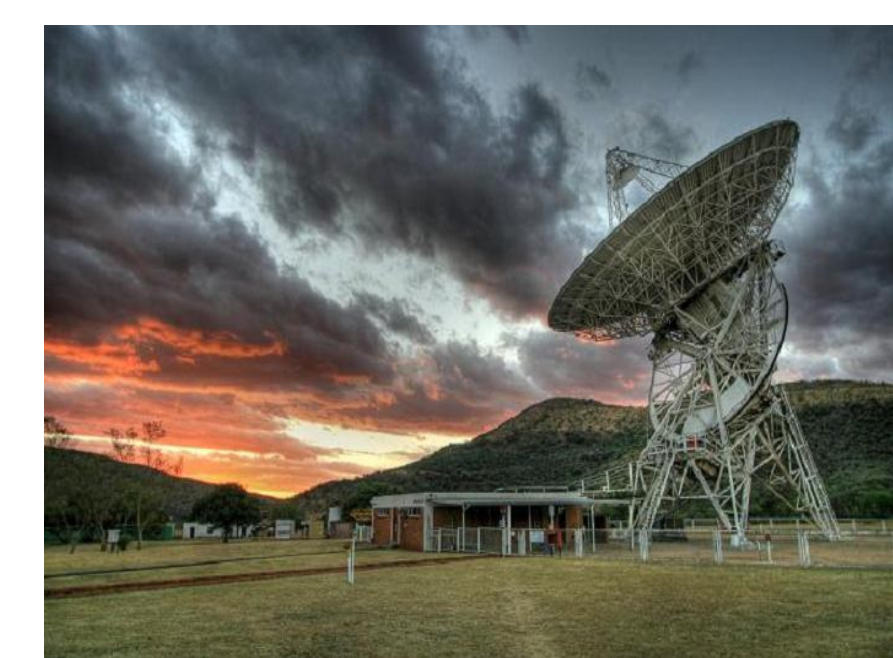
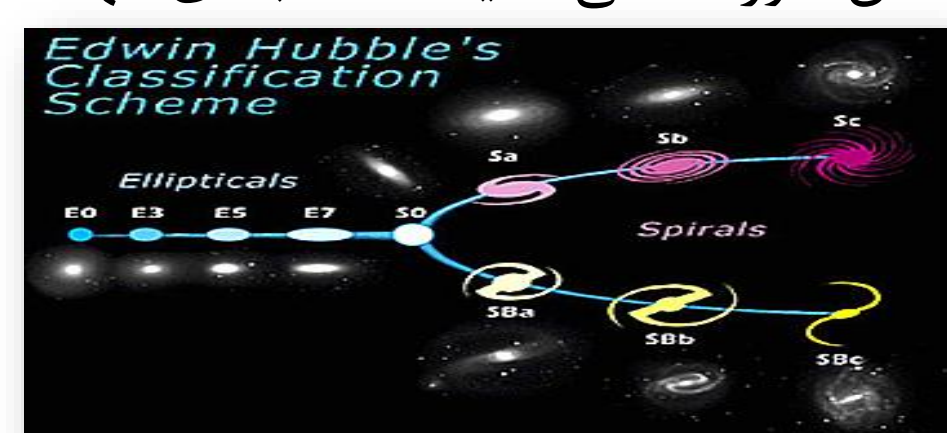


از سال ۱۹۳۲ میلادی تا کنون نجوم رادیویی، به عنوان شاخه جدیدی از روش‌های مطالعه ای آسمان به کمک کارل جنسکی پا به عرصه‌های علمی گشوده است. نجوم رادیویی شامل مطالعه بر روی امواج رادیویی رسیده از اعماق فضا می‌گردد. خیلی از اجرام کیهانی شامل کهکشانها، سحابی‌ها، ستارگان و حتی اجرامی راز آلود؛ منبع انتشار امواج رادیویی می‌باشد.



همان طور که می‌دانید دسته بنده کهکشان‌ها به روش‌های مختلف انجام می‌گیرد.



معمول ترین آنها براساس شکل اپتیکی آن هاست.
(۱) اگر چشم رادیویی به ابرسیاه چاله و یا به یک هسته‌ی غول پیکر در مرکز کهکشان مربوط نباشد به آن کهکشان، کهکشان معمولی می‌گویند. (تابش 10^{37} erg/s)

(۲) در صورتی که انرژی خروجی کهکشانی به علت تحولات ستاره‌ای باشد، آنها را کهکشان‌های ستاره سوز می‌نامند.
(تابش 10^{40} erg/s)

(۳) در نهایت کهکشان‌ها با هسته‌ی فعال یا، بخش مرکزی آن بطری مستقیم و خروج انرژی از هسته‌ی با خود مربوط نباشد. (تابش 10^{45} erg/s)

در بالا یک مدل ساده از این نوع کهکشان‌ها نشان می‌دهد که در مرکز آنها یک سیاه چاله‌ی سپیار سنتگین را دارد که اطراف‌ده قرار دارد که اطلاف آن را یک دیسک افرازینه احاطه کرده و از آن به بعد تا چند ده کیلو پارسک چنبری با حجم عظیمی از گرد و غبار، قرار دارد و نهایتاً "دو جفت جت از هسته در امتداد قطب‌ها مواد پر انرژی را به خارج می‌فرستند".

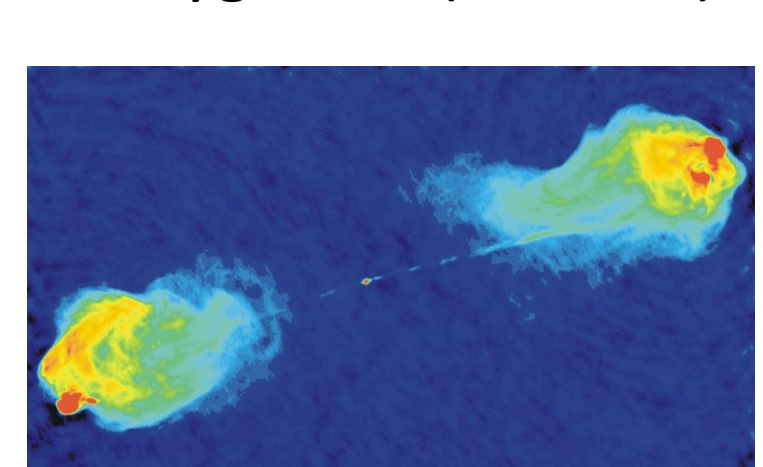
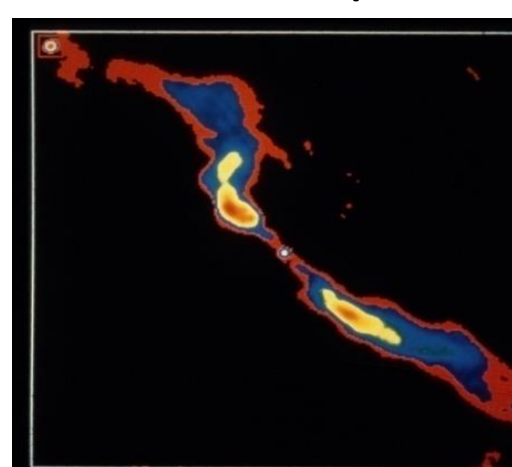
تصویر رادیویی این نوع از کهکشان‌ها غالب از دو بخش گستردگی (قابل تفکیک و مشاهده) و فشرده (زیر ۱ ثانیه قابل تفکیک و مطالعه) تشکیل شده است.
بخش گستردگی "معمول" صورت دو لوب کم ویژه متقاضان در دو طرف کوازار اپتیکی یا مرکز کهکشان دیده می‌شوند و مکان اپتیکی کوازار اغلب منطبق بر بخش فشرده می‌باشد. (شکل ۱)

مطالعات بر روی کهکشان‌ها با هسته‌ی فعال نشان می‌دهد آنها نیز انواع مختلف دارند از قبیل کهکشان‌های رادیویی، سیفرت‌ها، کوازارها و ...

ما در اینجا تنها به ذکر چند خصوصیت عمده‌ی کوازارها قناعت می‌کنیم از قبیل هسته‌ی مرکزی بصورت یک ستاره دیده می‌شود، انتقال به سرخ بالایی دارد، فقط ۱۰ درصد آنها رادیویی با جت قابل مشاهده می‌باشند و در طرف کوازار اغلب منطبق بر بخش سیفرتی را نشان میدهند.

كهکشان رادیویی

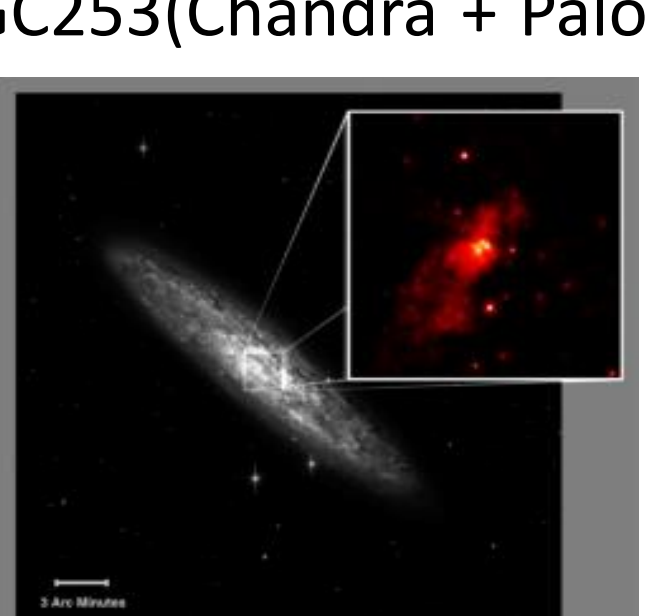
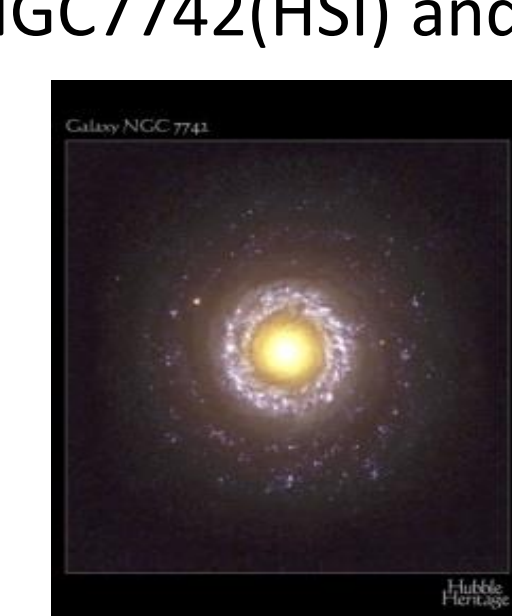
FRI: 3C130 ($z=0.109$) & FRII: Cygnus A ($z=0.056$)



آنها کهکشان‌های بیضوی ای هستند که از مرکزشان فواره‌های گازی (jet) بیرون می‌زنند.
روشنایی یک کهکشان رادیویی در طول موجه‌های رادیویی از ۰.۱ تا ده برابر روشناختی کهکشان راه شیری در تمامی طول موجه‌است.

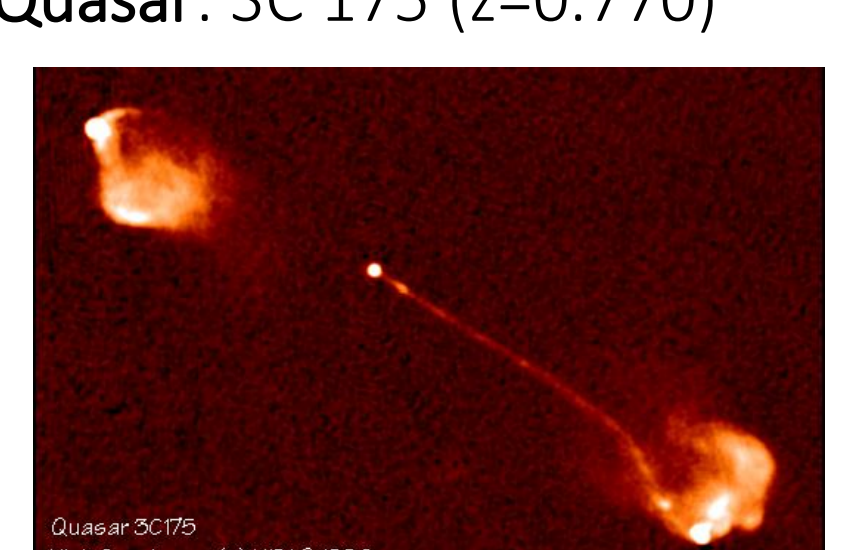
كهکشان سیفرت

Sy1 NGC7742(HSI) and Sy2 NGC253(Chandra + Palomar)



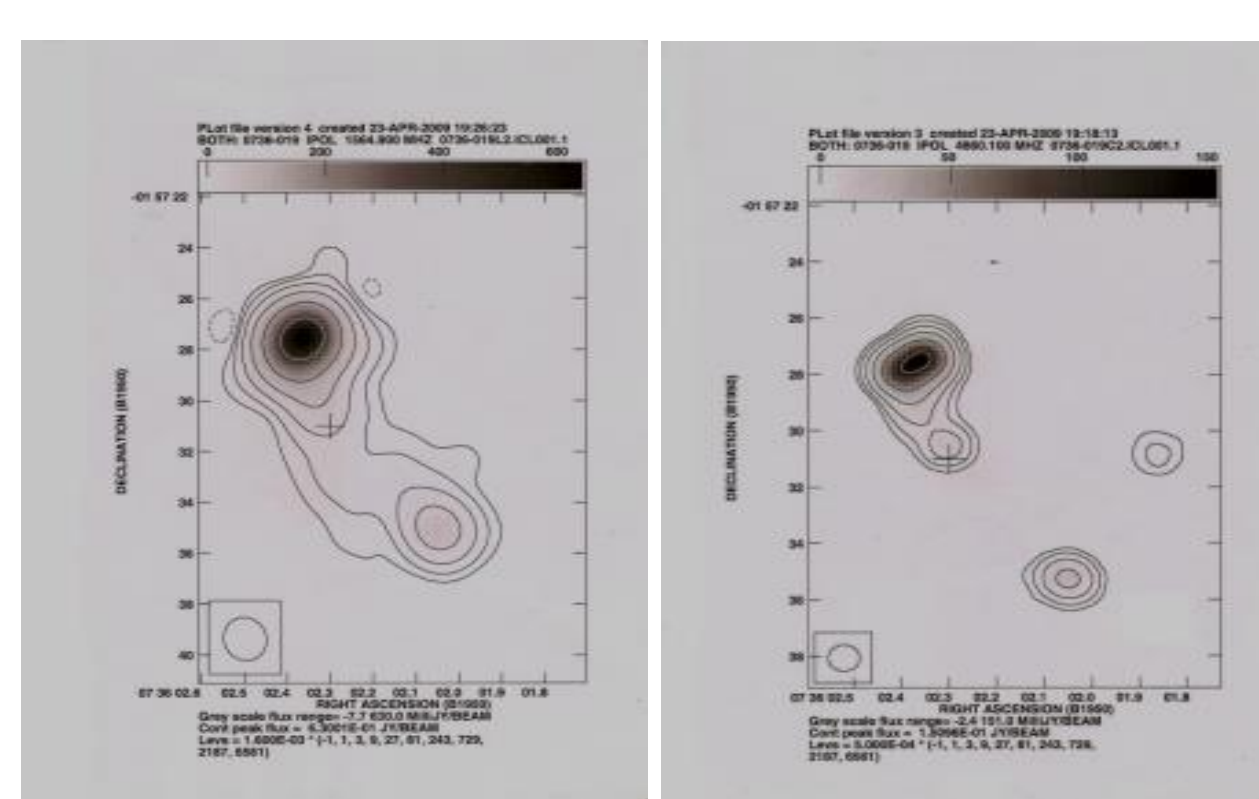
هسته‌های بسیار کوچک با ستارگان درخشان و در کهکشان‌های مارپیچی سیگنال‌های رادیویی بسیار فشرده و یا تاندگی کم کوازار

Quasar: 3C 175 ($z=0.770$)



آخرتوش‌ها یا کوازارها اجرامی بسیار درخشان و نقطه‌ای همانند ستارگان را در کهکشان‌های مارپیچی دارند، به این معنی که آنها با سرعت زیادی از ما در حال دور شدن هستند و بنا بر قانون انبساط عالم هابل این شان می‌دهد که در فاصله‌ی بسیار زیادی از ما قرار دارند. فقط ۱۰ درصد آنها رادیویی با جت قابل مشاهده می‌باشند.

تصاویر رادیویی بدست آمده برای این جسم پس از تداخل سنجی (+ محل اپتیکی کوازار است).



تصویر بدست آمده توسط رادیو تلسکوپ برای ۰۱۹-۷۳۶. نشان از چشم‌نهای متقارن خاصی از گروه AGN هاست. ما میتوانیم در تصویر بدست آمده هسته، دو لوب و یک جت کوازار را تشخیص بدهیم. این چشم‌نهای ظاهره‌وار، نیز در رصد های اپتیکی نشان داده که با انتقال به سرخ ۳۳/۱ و قدر حقیقی ۰/۵-وباند پهن در طیف سنجی، جزو گروه کوازارها می‌باشد.

تعدادی از مخصوصات دو چشم‌نهای رادیویی مورد تحقیق

Scientific Report No 19-April 2000 & VLA

Name of Source	Magnitude	Absolute Magnitude	Red shift	Radio coordinate in 1950 R.A. h m s DEC ° ' "	Optical coordinate in 1950 R.A. h m s DEC ° ' "
0404+177	19	-25.6	1.712	04 04 36.150 +17 42 52.500	04 04 36.150 +17 42 52.500
0736-019	18	-25.9	1.033	07 36 02.330 -01 57 30.500	07 36 02.330 -01 57 30.500

محاسبات

در انتهای به کمک AIPS پس از محاسبه‌ی چگالی شار کل و چگالی شار برای هر لوب در هر دو چشم‌نهای رادیویی (+ محل اپتیکی کوازار است).

Name of Source	Frequency MHz	Rms mJy/beam	F_{L} Jy	F_{S} Jy	F_{C} Jy	F_{T} Jy
0404+177	4860.1	7.812 E-5	1.7275 E-1	-----	1.2664 E-2	1.8521 E-1
0404+177	1564.9	1.321 E-4	5.0279 E-1	-----	1.5982 E-2	5.1818 E-1
0736-019	4860.1	1.4701 E-4	2.8517 E-1	2.1342 E-2	9.4475 E-3	3.1966 E-1
0736-019	1564.9	5.6400 E-4	9.2758 E-1	1.1516 E-1	-----	1.0765

(۱) زاویه جدایی، (θ) طول موج رسیده، (D) قطر بشتاب

به دلیل نیاز به دستیابی به قدرت تفکیک بیشتر، روش دیگری در ساخت و استفاده از رادیو تلسکوپها به وجود آمده است که مبنی بر تداخل سنجی یافت.

در این روش مجموعه‌ای از چند رادیو تلسکوپ به نسبت کوچکتر، با کمک هدایت کننده‌های کامپیوترا در جهت خاصی تنظیم شده و سیگنال‌های دریافتی از آنها آنالیز می‌شود تا تصویر واحد و واضحی به دست آید. اختشناسان رادیویی با استفاده از روش تداخل سنجی قادر به رصد آسمان با دقیقی افروزن ۰/۰۰۱ ثانیه قوسی هستند.

(۲) در اینجا از مجموعه عظیم از ۲۷ عدد تلسکوپ با قطر بشتاب ۲۵ متر تشکیل شده است. آتنن‌ها روى ریلهایی ۷ شکل قرار گرفته‌اند فاصله اولین تا آخرین تلسکوپ، معادل قطر بشتاب تلسکوپ واحد بطول ۳۶ کیلومتر است.



(Astronomical Image Processing System) AIPS

پس از مرحله‌ی رصد امواج رادیویی و مراحل الکترونیکی، برهمکنش امواج، کالایره کردن و تصحیح داده‌ها در تداخل سنج رادیویی و همچنین ساختن، نمایش، تجزیه و تحلیل تصاویر رنجومی بدست آمده با استفاده از سنتر فوریه و ۴۰۵۰ محسسات مختلف دیگر را با استفاده از نرم افزار سیستم پردازش تصاویر رنجومی AIPS انجام می‌دهیم.

نمونه‌ی دیتا‌های گرفته شده از VLA AIPS پیش از آنالیز توسعه نامه از این نرم افزار می‌باشد.

مشاهدات و تجزیه و تحلیل داده‌ها توسط AIPS دو چشم‌نهای رادیویی (+ محل اپتیکی کوازار شده از Bolton J. G and Wall J.V., 1969&1970, Aust. J. Physics

نمونه‌ی دیتا‌های گرفته شده از VLA AIPS پیش از آنالیز توسعه نامه از این نرم افزار می‌باشد.

مشاهدات و تجزیه و تحلیل داده‌ها توسط AIPS دو چشم‌نهای رادیویی (+ محل اپتیکی کوازار شده از Bolton J. G and Wall J.V., 1969&1970, Aust. J. Physics

مشاهدات و تجزیه و تحلیل داده‌ها توسط AIPS دو چشم‌نهای رادیویی (+ محل اپتیکی کوازار شده از Bolton J. G and Wall J.V., 1969&1970, Aust. J. Physics

مشاهدات و تجزیه و تحلیل داده‌ها توسط AIPS دو چشم‌نهای رادیویی (+ محل اپتیکی کوازار شده از Bolton J. G and Wall J.V., 1969&1970, Aust. J. Physics

مشاهدات و تجزیه و تحلیل داده‌ها توسط AIPS دو چشم‌نهای رادیویی (+ محل اپتیکی کوازار شده از Bolton J. G and Wall J.V., 1969&1970, Aust. J. Physics

مشاهدات و تجزیه و تحلیل داده‌ها توسط AIPS دو چشم‌نهای رادیویی (+ محل اپتیکی کوازار شده از Bolton J. G and Wall J.V., 1969&1970, Aust. J. Physics

مشاهدات و تجزیه و تحلیل داده‌ها توسط AIPS دو چشم‌نهای رادیویی (+ محل اپتیکی کوازار شده از Bolton J. G and Wall J.V., 1969&1970, Aust. J. Physics

مشاهدات و تجزیه و تحلیل داده‌ها توسط AIPS دو چشم‌نهای رادیویی (+ محل اپتیکی کوازار شده از Bolton J. G and Wall J.V., 1969&1970, Aust. J. Physics

مشاهدات و تجزیه و تحلیل داده‌ها توسط AIPS دو چشم‌نهای رادیویی (+ محل اپتیکی کوازار شده از Bolton J. G and Wall J.V., 1969&1970, Aust. J. Physics

مشاهدات و تجزیه و تحلیل داده‌ها توسط AIPS دو چشم‌نهای رادیویی (+ محل اپتیکی کوازار شده از Bolton J. G and Wall J.V., 1969&1970, Aust. J. Physics

مشاهدات و تجزیه و تحلیل داده‌ها توسط AIPS دو چشم‌نهای رادیویی (+ محل اپتیکی کوازار شده از Bolton J. G and Wall J.V., 1969&1970, Aust. J. Physics

مشاهدات و تجزیه و تحلیل داده‌ها توسط AIPS دو چشم‌نهای رادیویی (+ محل اپتیکی کوازار شده از Bolton J. G and Wall J.V., 1969&1970, Aust. J. Physics

مشاهدات و تجزیه و تحلیل داده‌ها توسط AIPS دو چشم‌نهای رادیویی (+ محل اپتیکی کوازار شده از Bolton J. G and Wall J.V., 1969&1970, Aust. J. Physics

مشاهدات و تجزیه و تحلیل داده‌ها توسط AIPS دو چشم‌نهای رادیویی (+ محل اپتیکی کوازار شده از Bolton J. G and Wall J.V., 1969&1970, Aust. J. Physics

مشاهدات و تجزیه و تحلیل داده‌ها توسط AIPS دو چشم‌